

# Тензорный метод SSA в задаче декомпозиции многомерных временных рядов

Сёмкин Кирилл    Вадим Стрижов

Московский Физико-Технический Институт

2023

# Цель исследования

## Проблема

Классические методы декомпозиции временных рядов не позволяют учесть взаимосвязь и общую природу порождения набора временных рядов.

## Цель

Предложить метод, позволяющий выделить общую для набора сигналов структуру, и на её основании произвести разложение на аддитивные компоненты.

## Решение

Использовать гипотезу порождения рядов общей динамической системой и идею метода SSA. Состыковать траекторные матрицы в тензор, применить каноническое тензорное разложение, на её основе получить декомпозицию типа SVD для каждой матрицы, далее разложить каждый ряд на компоненты.

-  Stephan Rabanser and Oleksandr Shchur and Stephan Günnemann *Introduction to Tensor Decompositions and their Applications in Machine Learning*. arXiv, 2017.
-  D. Stepanov and N. Golyandin *SSA-based approaches to analysis and forecast of multidimensional time series*. 2005.
-  Kouchaki, Samaneh and Sanei, Saeid *Tensor based singular spectrum analysis for nonstationary source separation*. MLSP, 2013.
-  Fu, Hang and Sun, Genyun and Zhang, Aizhu and Shao *Tensor Singular Spectrum Analysis for 3-D Feature Extraction in Hyperspectral Images*. IEEE Transactions on Geoscience and Remote Sensing, 2023.

# Постановка задачи

Пусть имеем набор временных рядов  $\{x_i(t_j)\}_{i=1}^m$ , где сетка по времени  $t_j \in \overrightarrow{1, N}$ . Стоит задача разложения временных рядов на аддитивные компоненты:

$$\begin{aligned}x_1(t) &= f_1(t) + f_2(t) + \dots + f_{n_1}(t) \\x_2(t) &= g_1(t) + g_2(t) + \dots + g_{n_2}(t) \\&\dots\end{aligned}$$

## Проблема

Способов разложения бесконечно много, нужно конкретизировать требования на компоненты  $f_i(t)$ ,  $g_i(t)$  и т.д.

# Метод SSA

Имеем один временной ряд. Предполагаем его порождение некоторой (скрытой) динамической системой, используем теорему Такенса для её восстановления.

Выбираем длину окна  $L$ , строим *вектора задержек*  $x_k = (x(t_k) \ x(t_{k+1}) \ \dots \ x(t_{k+L-1}))$ , собираем их по столбцам в ганкелеву матрицу  $T$  (*траекторная матрица*).

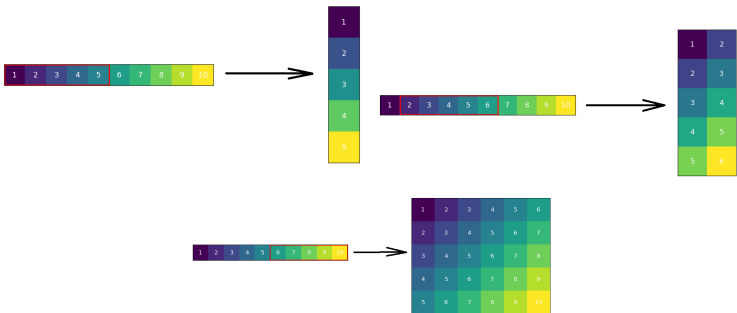


Рис. 1: Построение траекторной матрицы

# Метод SSA

Далее к матрице применяется SVD-разложение  $T = \sum^r \sigma_i u_i v_i$

Предполагается существование разбиение факторов на 2 (или более) группы так, что  $T = X_1 + X_2$ , причём  $X_1, X_2$  - также траекторные матрицы некоторых сигналов  $f_1(t), f_2(t) \Rightarrow x(t) = f_1(t) + f_2(t)$

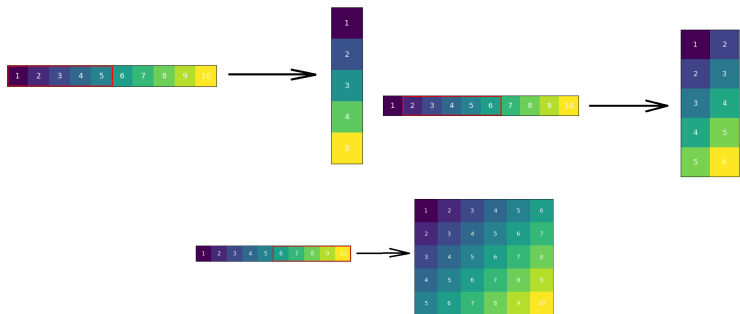


Рис. 1: Построение траекторной матрицы

# Метод mSSA

Имеем набор временных рядов. Строим траекторные матрицы для каждого ряда  $T_1, T_2, \dots, T_m$ , конкатенируем все матрицы в одну  $T = [T_1 \ T_2 \ \dots \ T_m]$ , которую далее раскладываем с помощью SVD

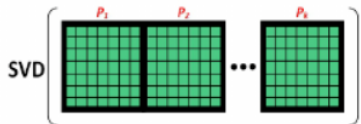


Рис. 2: Метод mSSA

$$T = \sum_i^r \sigma_i u_i v_i \Leftrightarrow \begin{cases} T_1 = \sum_i^r \sigma_i u_i v_i^1 \\ T_2 = \sum_i^r \sigma_i u_i v_i^2 \\ \dots \\ T_m = \sum_i^r \sigma_i u_i v_i^m \end{cases}$$

# Метод tSSA

Теперь состыкуем матрицы по третьему измерению, получим траекторный тензор Т. Применим CPD-разложение:

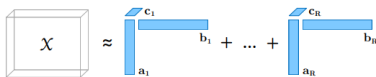


Рис. 3: Иллюстрация CPD разложения

С математической точки зрения это выглядит так:

$$T = \sum_i^r a_i \otimes b_i \otimes c_i \Leftrightarrow \begin{cases} T_1 = \sum_i^r c_i[1] \cdot a_i b_i \\ T_2 = \sum_i^r c_i[2] \cdot a_i b_i \\ \dots \\ T_m = \sum_i^r c_i[m] \cdot a_i b_i \end{cases}$$



# Вычислительный эксперимент

**Цель вычислительного эксперимента:** сравнить работу методов mSSA и tSSA на синтетических (набор синусов с разными фазами) и на реальных временных рядах (акселерометрия).

*Метрики качества:*

- интерпретируемость компонент разложения
- расхождение исходных рядов от суммы полученных декомпозиций

# Синтетические данные

Сгенерирован набор  $x_i(t) = \sin(w_i \cdot t) + \varepsilon_i$ , где  $w_i \in \{1, 2, 3\}$  - частоты,  $\varepsilon_i$  - небольшой гауссовский шум.

# Синтетические данные

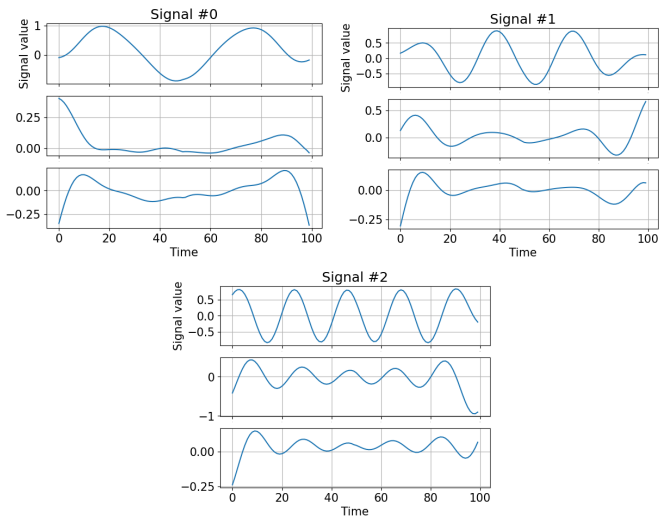


Рис. 4: Метод mSSA. Разложение рядов на компоненты

# Синтетические данные

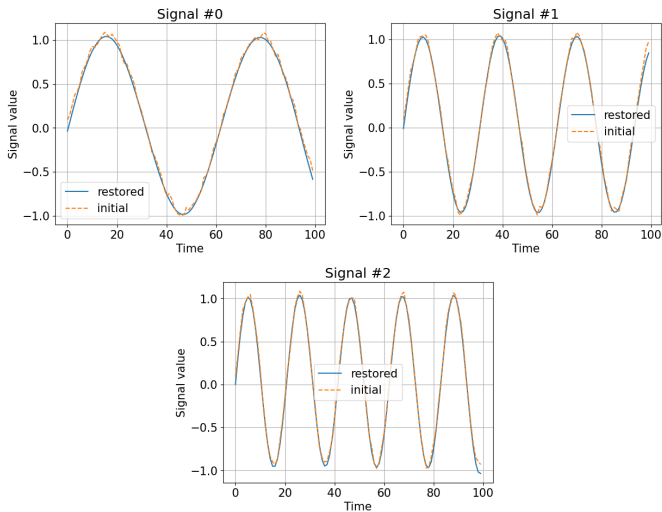


Рис. 4: Метод mSSA. Сопоставление истинного ряда и его аппроксимации

# Синтетические данные

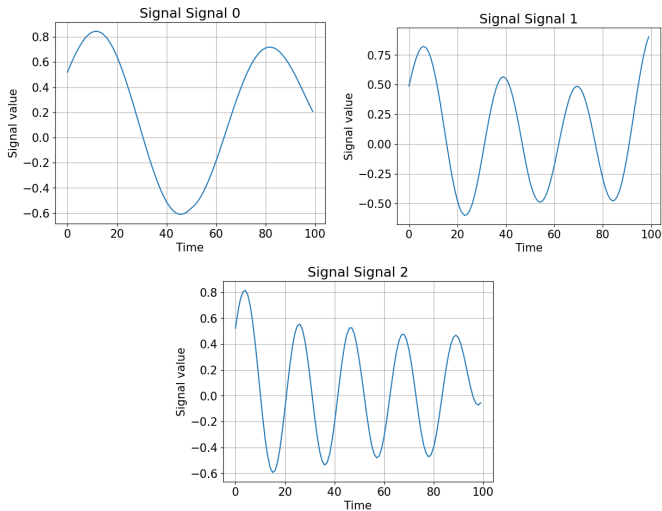


Рис. 5: Метод tSSA. Разложение рядов на компоненты

# Синтетические данные

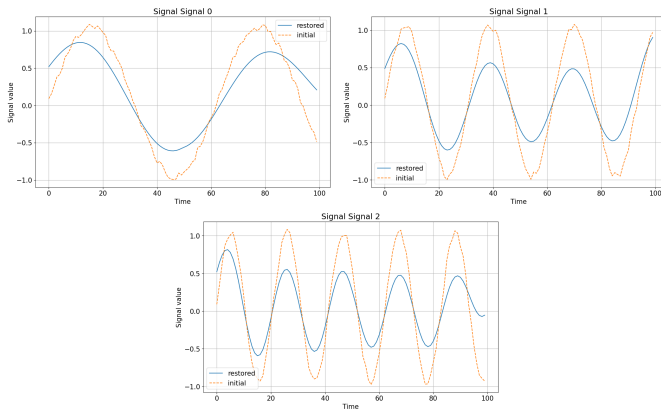
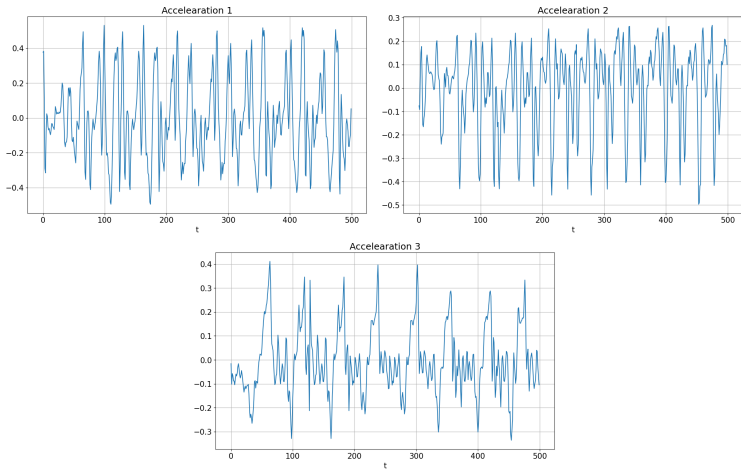


Рис. 5: Метод tSSA. Сопоставление истинного ряда и его аппроксимации

# Акселерометрия

Имеем три временных ряда — компоненты вектора ускорения идущего человека.



# Акселерометрия

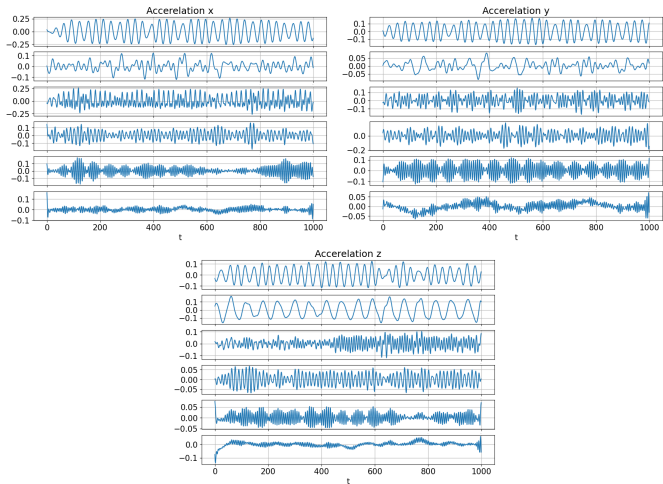


Рис. 6: Метод mSSA. Разложение рядов на компоненты



# Акселерометрия

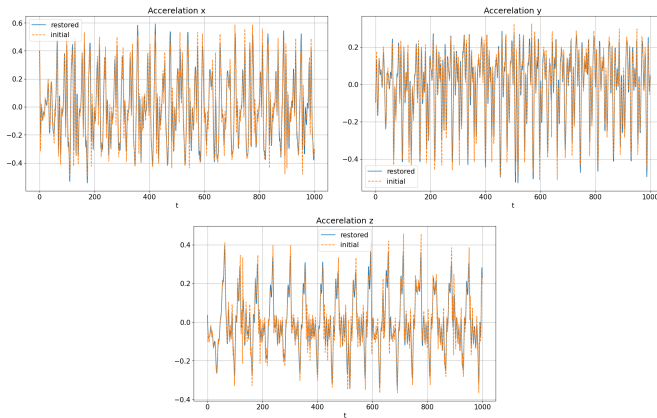


Рис. 6: Метод mSSA. Сопоставление истинного ряда и его аппроксимации

# Акселерометрия

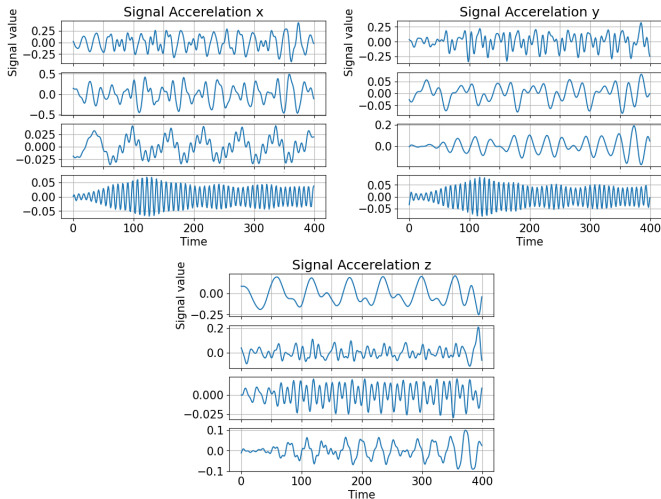


Рис. 7: Метод tSSA. Разложение рядов на компоненты

# Акселерометрия

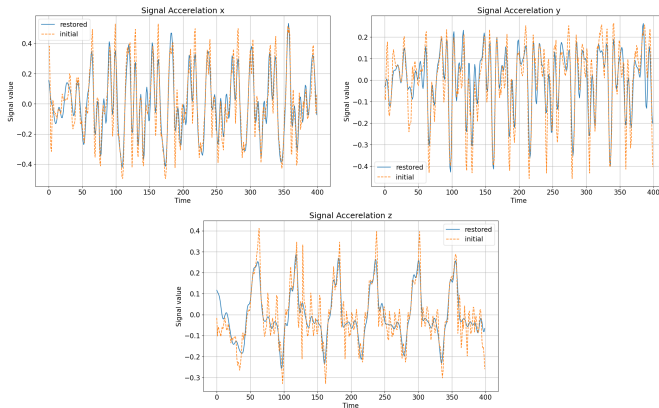


Рис. 7: Метод tSSA. Сопоставление истинного ряда и его аппроксимации

- оба метода смогли вычленить сложные составляющие рядов, в том числе модулированные сигналы
- точность аппроксимации tSSA пока получается ниже, чем у mSSA
- тем не менее tSSA намного гибче в плане выбора компонент для каждого сигнала

# Дальнейшая работа

Далее планируется внести поправки в алгоритм tSSA, продолжить его математический анализ, усложнить рассматриваемую модель, провести больше экспериментов.